

M. Krmar, M. Veskovic, J. Slivka, Lj. Conkic, I. Bikit  
Institut za fiziku, PMF, Trg D. Obradovica 4., Novi Sad

### KALIBRACIJA $\gamma$ - $\gamma$ KOINCIDENTNOG SPEKTROMETRA POMOCU IZVORA $^{60}\text{Co}$

### $\gamma$ - $\gamma$ COINCIDENCE SPECTROMETER CALIBRATION BY $^{60}\text{Co}$ SOURCE

#### Sadržaj

Prikazana je konstrukcija i elektronska sema Ge-NaI(Tl) koincidentnog - antikoincidentnog spektrometra. Testiranje performansi sistema je izvršeno sa izvorom  $^{60}\text{Co}$ . Izracunat je prag detekcije sistema u koincidentnom režimu. Pokazano je da se za intenzivne  $\gamma$ -kaskade prag detekcije ispod 1 Bq može postići za vreme merenja od oko 100 s, praktično nezavisno od intenziteta zračenja iz okoline.

#### Abstract

Construction and electronics scheme of gamma - gamma coincidence spectrometer is shown. System performance test is done by  $^{60}\text{Co}$ . Detection threshold of system in coincidence mode is calculated. It is shown that for intensive gamma cascades detection threshold below 1 Bq is partly independent of background and can be reached in time interval of about 100 s.

#### UVOD

Prilikom istraživanja strukture jezgra, najdragocenije informacije je moguće dobiti koincidentnom spektroskopijom gde se suksesivne emisije  $\gamma$ -kvanta iz jezgra prate sa dva ili više detektora. Iz asimetrije vremenskog spektra konincidentnih dogadaja moguće je odrediti [1] period poluraspada pobudnih stanja jezgra, preko ugaone zavisnosti koincidentnih dogadaja mogu se odrediti [2] spinovi pobudnih stanja jezgara i multipolnosti zračenja. Sema energetskih nivoa nekog jezgra je definitivno potvrđena tek onda kada se utvrdi da li se neki od prelaza odvijaju u kaskadi što je moguće izvesti jedino koincidentnim merenje. Kada se posmatraju neki retki energetski prelazi u jezgru prilikom kojih dolazi do kaskadne emisije  $\gamma$  zračenja malog intenziteta moguće je sva druga nekoincidentna zračenja ispitivanog jezgra eliminisati koincidentnim merenjem bez obzira koliki su im intenziteti. Na taj način se može detektovati samo  $\gamma$ -zračenje od interesa koje se zbog slabog intenziteta ne bi primetilo u komptonskim rasejanjem zračenju intenzivnih  $\gamma$ -zračenja.

Osnovna namena antikoptonskog koincidentnog spektrometra [3,4] je aktivna zaštita, tj. da u antikoincidentnom režimu rada odbija sve dogadaje koji potiču od komptonskih rasejanja pa se na taj način u

spektrima mogu detektovati i  $\gamma$ -linije malih intenziteta sto bi u direktnom spektru bilo nemoguce.

U ovom radu se ispituje mogucnost korišćenja jednog ovakvog detektora za  $\gamma$ - $\gamma$  koincidentna merenja. Da bi se iskalibrисao jedan ovakav  $\gamma$ - $\gamma$  koincidentni spektrometar potrebno je pomoći nekog dobro poznatog izotopa koji emituje  $\gamma$ -zračenje u kaskadi odrediti vreme razlaganja koincidentnog kruga, koincidentnu efikasnost i koincidentni prag detekcije.

## 2. EKSPERIMENT

### 2.1. Detektori

Detektorski sistem korišćen u eksperimentu sastoji se od središnjeg HPGe detektora relativne efikasnosti 25% energijske rezolucije od 1,9 keV na 1332 keV i NaI(Tl) detektora oblika jame, dimenzija 22,8 cm i 22,8 cm. Detektor oblika jame se sastoji od dva scintilaciona kristala, ovojnica (anulus) koji ima 6 fotomultiplikatora paralelno vezanih za izvor visokog napona i čepa (plug) sa jednim fotomultiplikatorom koji se posebno napaja. Oba kristala su podešena da rade kao jedan detektor. Maksimalna rezolucija se dobija kada se za određenu energiju na svim fotomultiplikatorima dobija signal iste visine. To je postignuto podešavanjem pojačanja na svakom pojedinačnom fotomultiplikatoru anulusa i izjednačavanje visine signala između anulusa i plaga izvedeno je uskladivanjem visine napona napajanja ova dva detektora. Energijska rezolucija ovako podešenog detektora je bila 11,4% na 661,5 keV i 5,6% na 1332 keV.

Detektorski sistem je zaštićen sa 25 cm gvožđa i brzina brojanja Ge-detektora u energetskom intervalu od 30-2000 keV je 1,5 impulsa u sekundi.

### 2.2. Elektronika

Elektronika koja upotrebljava za standardna antikoincidentna merenja kada se NaI detektor koristi u svojoj osnovnoj nameni kao aktivna zastita može se upotrebiti uz manje izmene i u  $\gamma$ - $\gamma$  koincidentnim merenjima za različite energetske prozore. Detektorski signali se obraduju u brzom i sporom kolu. Brzo kolo služi za vremensko registrovanje koincidencija između signala iz NaI i Ge detektora dok nam sporo kolo daje informaciju o energijama koincidentnih dogadaja.

U TAC vremenskom analizatoru dobijamo koincidencije između svih signala iz Ge i NaI detektora koji produ kroz grane brzog kola. Signali iz Ge detektora koji prolaze brzom granom kola nakon predpojačavač, brzog diskriminatora i modula za kašnjenje startuju TAC. Signali iz anulusa i plaga se nakon prolaska kroz odgovarajuću predpojačala sabiraju da bi se uveli u brzi diskriminator koji zaustavlja TAC.

Vrata TAC-a rade u koincidentnom režimu i otvaraju se signalom iz jednokanalnog analizatora u grani NaI-detektora u sporom kolu. Signal iz TAC-a otvara vrata ADC konvertora i propušta samo one signale spore grane Ge-detektora koji su koincidentni sa događajem detektovanom u NaI detektoru i odabranim jednokanalnim analizatorom. Izlazni signal iz TAC-a se postavlja oko maksimuma vremenske krive dobijene u brzom delu kola.

2.3.  $^{60}\text{Co}$ 

Za testiranje koincidentnih sistema potrebno je imati radioizotop u cijem spektru postoje barem dve  $\gamma$  linije dovoljno intenzivne da se mogu detektovati i da su koincidentne. Nakon  $\beta^-$  raspada  $^{60}\text{Co}$  dolazi [5] do emisije dva para koincidentnih  $\gamma$  fotona. Nivo od 2505,7 keV  $^{60}\text{Ni}$  sa kaskadno deeksitira na dva nacina, preko prelaza od 1173,2 i 1332,5 keV ciji su kvantni prinosi 99,918 i 99,9989% i preko dva slaba prelaza od 346,9 i 2158,8 keV intenziteta 0,0076 i 0,00114 respektivno.

## 3. REZULTATI

## 3.1. Vreme razlaganja brzog koincidentnog kruga

Podizanjem nivoa diskriminacije brzih diskriminatora odbacuju se signali sa dužim vremenki porastom cime se eliminise sum detektora i smanjuje broj slučajnih koincidentija. Ovom prilikom se gubi i izvestan broj signala, posebno niskih, što smanjuje koincidentnu efikasnost. Nakon odabiranja praga diskriminacije za sve energije veće od 30 keV snimljena je vremenska kriva. Kalibracija vremenske ose izvršena je ubacivanjem kašnjenja od 16 i 32 ns i utvrđeno je da je vreme razlaganja brzog koincidentnog gruga  $\tau=10,8$  ns. Ovo je veoma dobra vrednost posto su tipična vremena razlaganja brzih koincidentnih krugova Ge-Ge sistema oko 100 ns. Broj slučajnih koincidentija je bio manji od 1%.

## 3.2. Koincidentna efikasnost

Broj pravih koincidentija u idealnom eksperimentu bi bio

$$N_{cp} = A \cdot t \cdot \epsilon_1 \cdot \epsilon_2 \cdot p_{\gamma_1} \cdot p_{\gamma_2} \quad (1)$$

gde su  $A$  - aktivnost izvora,  $t$  - vreme merenja,  $\epsilon_1$  i  $\epsilon_2$  efikasnosti upotrebljenih detektora i  $p_{\gamma_1}$ ,  $p_{\gamma_2}$  kvantni prinosi koincidentnih  $\gamma$  fotona.

Kod realnih koincidentnih uredaja dolazi do odstupanja od predviđene vrednosti broja koincidentnih dogadaja. U prozoru jedno-kanalnog analizatora mogu se naci komptonski rasejani kvanti viših  $\gamma$  energija ili signali nastali sabiranjem dva ili više fotona nizih energija. Da pravih koincidentija može doći i između rasejanih fotona a i elementi u koincidentnom krugu imaju neko mrtvo vreme. Da bi se eksperimentalni podaci kvantitativno interpretirali na zadovoljavajući način potrebno je odrediti koincidentnu efikasnost koja se definise kao odnos broja detektovanih koincidentnih dogadaja  $N_{cd}$  i teorijski predviđenog broja dogadaja

$$\epsilon_c = \frac{N_{cd}}{N_{cp}} = \frac{N_{cd}}{A \cdot t \cdot \epsilon_1 \cdot \epsilon_2 \cdot p_{\gamma_1} \cdot p_{\gamma_2}} \quad (2)$$

U eksperimentu je upotrebljen takiasti izvor  $^{60}\text{Co}$  aktivnosti 14,4 kBq lociran između Ge-detektora i plaga. Prozor jedno-kanalnog analizatora u sporom kolu u grani sa NaI detektorom je bio postavljen na 1332 keV pa se iz intenziteta linije od 1173 keV u Ge detektoru i od ranije poznatih vrednosti za efikasnost oba detektora  $\epsilon_{Ge}(1173)=0,023$  i  $\epsilon_{Ge}(1332)=0,276$  dobilo da je koincidentna efikasnost detektorskog sistema

$$\epsilon_c = 0,74 \pm 0,08$$

### 3.3 Koincidentni prag detekcije

Kako se koincidentnom tehnikom mogu meriti veoma slabi  $\gamma$  prelazi eliminisanjem neokoincidentnih  $\gamma$ -linija veoma je znacajno za postojeći detektorski sistem odrediti prag detekcije, tj. minimalnu aktivnost izvora za koju se još sa zadovoljavajućom tačnoscu može detektovati zeljena  $\gamma$ -linija u spektru.

Predpostavimo da se  $\gamma$  kvant, prinosa  $p_{\gamma}$  detektuje u Ge-detektoru sa efikasnošću  $\epsilon_{Ge}$  a njemu koincidentan kvant prinosa  $p_{\gamma'}$  u NaI-detektoru sa efikasnošću  $\epsilon_{NaI}$ . Broj pravih koincidencija merenjem izvora aktivnosti A u vremenu t se može izraziti pomoću formule (1)

$$N_{cp} = A \cdot t \cdot p_{\gamma_1} \cdot p_{\gamma_2} \cdot \epsilon_{Ge} \cdot \epsilon_{NaI} = E \cdot A \cdot t$$

broj slučajnih koincidencija je:

$$N_s = 2\tau(EA^2 + \beta_1 \beta_2) t \quad (3)$$

gde je  $\tau$  vreme razlaganja koincidentnog sistema a  $\beta_1$  i  $\beta_2$  površine kontinuuma ispod foto vrhova  $\gamma$ -linija.

Ukoliko je  $N_{cu}$  ukupan broj koincidencija određen iz intenziteta  $\gamma$ -linije u koincidentnom spektru broj pravih koincidencija je:

$$N_{cu} = N_{cp} - N_s \quad (4)$$

Možemo smatrati [6] da je broj registrovanih koincidencija statistički značajan ako je broj detektovanih dogadaja najmanje tri puta veći od greske detekcije, tj.:

$$\frac{\Delta N_{cp}}{N_{cp}} = \frac{1}{3} \quad (5)$$

Kako je:

$$\Delta N_{cp} = \sqrt{N_{cu} + N_s} \quad (6)$$

korišćenjem jednacina (1)-(6) dobija se za minimalnu aktivnost koja se može detektovati koincidentnom tehnikom

$$A_{min} = \frac{4,5}{(Et-36\tau)} \left[ 1 + \sqrt{1 + 1,78 \frac{\tau \beta_1 \beta_2 (E \cdot t - 36\tau)}{E}} \right] \quad (7)$$

Osim efikasnosti detektora, vremena razlaganja i kvantnih prinosa koincidentnih linija sto su karakteristike detektorskog sistema i merenog izotopa donji prag detekcije zavisi i od vremena merenja kao i visina kontinuuma na kojem se nalaze posmatrane  $\gamma$ -linije.

Na primeru  $^{60}Co$  koji ima dva para koincidentnih linija koje se veoma razlikuju po intenzitetu izracunat je prag detekcije u zavisnosti od vremena merenja za razlicite vrednosti parametara  $\beta_1$  i  $\beta_2$  (uzete su vrednosti 0,10,100 i 1000). U tabeli (3.1) date su vrednosti kvantnih prinosa i efikasnosti detekcija kobaltovih linija.

E [keV]	$p_{\gamma}$	$\epsilon$
1173,2	99,918	0,023 (Ge)
1332,5	99,9989	0,276 (NaI)
346,9	0,0076	0,059 (Ge)
2158,8	0,00114	0,100 (NaI)

Na 4 i 5 prikazane su izračunate vrednosti praga detekcije za dve kaskade kobalta. Vrednost proizvoda  $\beta_1 \beta_2$  praktično ne utiče na prag detekcije kod intenzivne kaskade  $1173 \rightarrow 1332$  (slika 4). Kod kaskade  $346,9 \rightarrow 2158$  čije su  $\gamma$  linije veoma slabog intenziteta postoji vremenski prag od 72 ks ispod koga je nemoguce izvršiti detekciju. Sto je veće pozadinsko zračenje, tj. proizvod  $\beta_1 \beta_2$  to je potrebna veća aktivnost izvora da bi se  $\gamma$  linije kaskade uopšte detektovale (slika 5). Sa izvorom  $^{60}\text{Co}$  od  $3,7 \cdot 10^5$  Bq su izvršena koincidentna merenja za kaskadu  $346,9 \rightarrow 2158,8$  keV. Prozor jednokanalnog analizatora u sporom kolu u grani NaI detektora je bio postavljen na 2158,8 keV a u Ge - detektoru je meren intenzitet linije od 346,9 keV. U dobijenom spektru se mogla primetiti linija na 346,9 keV ali nako merenja od 150 ks nije dobijena  $\gamma$  - linija dovoljno dobro statistički definisana što je u saglasnosti sa teorijskim izračunavanjima.

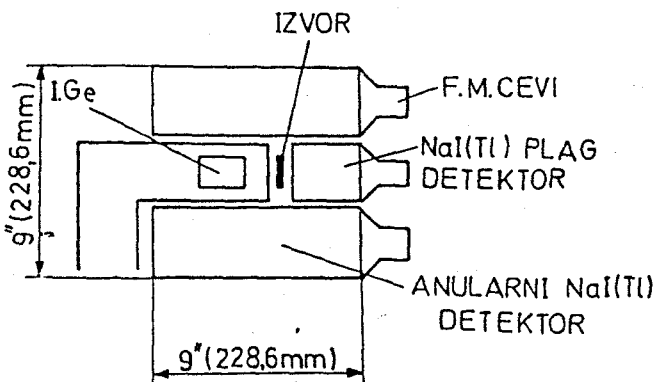
#### ZAKLJUČAK

Testiranjem karakteristika Ge-NaI(Tl) spektrometra izvorom  $^{60}\text{Co}$  utvrđeno je da on ima veoma dobro vremensko razlaganje, i odredena je koincidentna efikasnost detektorskog sistema.

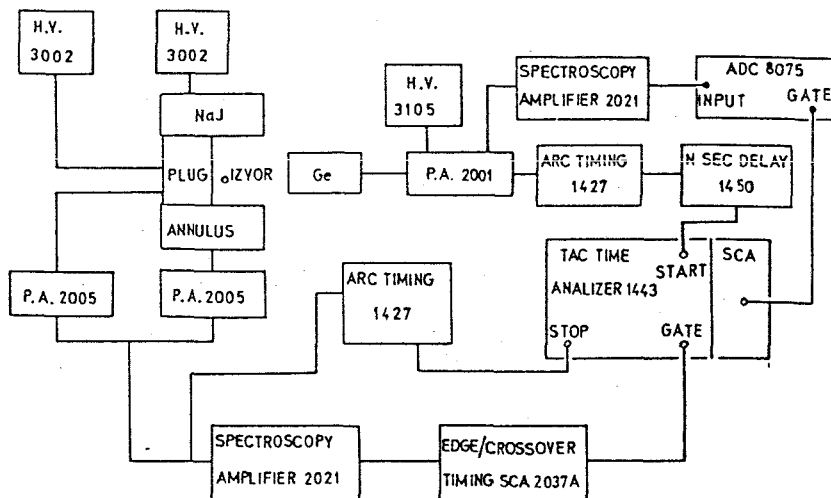
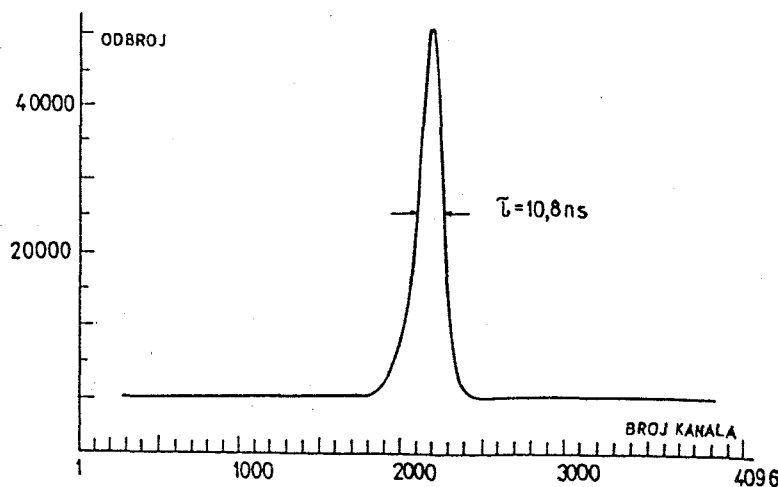
Ukoliko bi se ovaj detektorski sistem koristio za gama - gama koincidentna merenja za prelaze velikog kvantnog prinosa ( $p_{\gamma} \approx 1$ ) moguce je dobiti statistički zadovoljavajuće  $\gamma$ -spektre i sa malim aktivnostima izvora (reda veličine Bq) za kratke vremenske intervale (oko 100 s) nezavisno od intenziteta okolnog zračenja. Za  $\gamma$ -linije malog intenziteta kao što je to slučaj u kaskadi  $346,9 \rightarrow 2158$  keV kod izvora  $^{60}\text{Co}$  prag detekcije je znatno viši i slabo zavisi od nivoa okolnog zračenja. Sa izvorima aktivnosti reda veličine  $\mu\text{Ci}$  koji su upotrebљeni u ovom eksperimentu mogu se dobiti  $\gamma$  linije statistički dobro definisane u koincidentnim spektrima samo merenjem u vremenskim intervalima reda veličine  $10^8$  s.

## LITERATURA

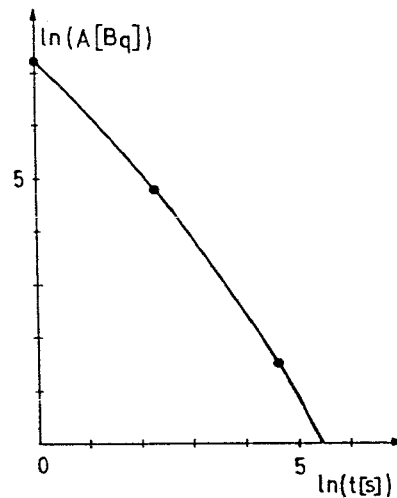
- 1) R. E. Bel, *Coincidence techniques and the measurement of short mean lives in:  $\alpha$ ,  $\beta$ ,  $\gamma$  Ray Spectroscopy* by Kai Siegbahn, Nort Holland publishing company, Amsterdam (1965).
- 2) H. Franenfelder: *Angular distribution of nuclear radiation in:  $\alpha$ ,  $\beta$ ,  $\gamma$  Ray Spectroscopy* by Kai Siegbahn. Nort Holland publishing company Amsterdam, (1965).
- 3) Massé, A. Adam and J. Laurec; Nucl. Inst. and Meth. A 309 (1991) 227
- 4) C. Chuang, L. J. Yuan and K. B. Shen; Nucl. Inst. and Meth. A 243 (1986) 102.
- 5) C. M. Lederer and V. S. Shirley; *Table of Isotopes*: John Wiley and Sons, Seventh Edition.
- 6) I. Aničin and C. Yap; Nucl. Inst. and Meth. A 243 (1986) 227.



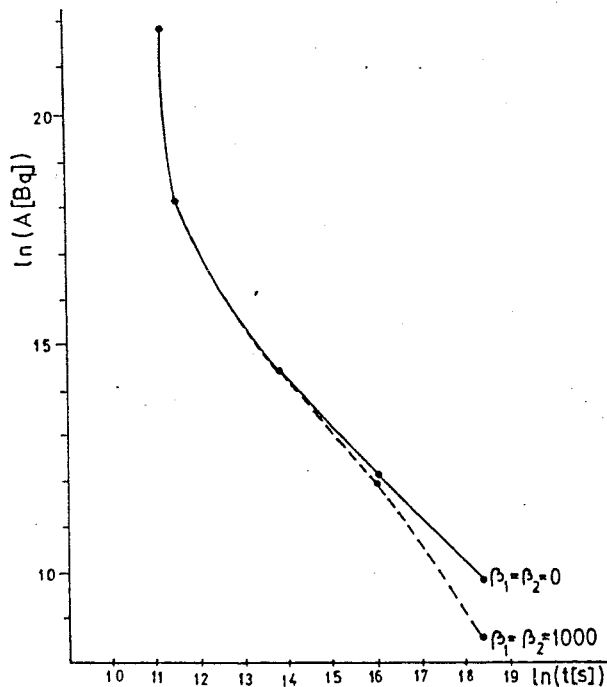
slika 1.: Antikomptonski koincidentni spektrometar

slika 2.: Blok-dijagram  $\gamma$ - $\gamma$  koincidentnog spektrometra

slika 3.: Vremenska kriva



slika 4.: Prag detekcije za kaskadu 1173, 2→1332, 5



slika 5.: Prag detekcije za kaskadu 346, 9→2158, 8 keV